УДК 541.124/128

## ФИЗИЧЕСКАЯ ХИМИЯ

В. Г. ВОРОНКОВ , А. А. ПАВЛОВ, А. С. РОЗЕНБЕРГ

## ТЕРМИЧЕСКОЕ ВОСПЛАМЕНЕНИЕ ПАРОВ АЗОТИСТОВОДОРОДНОЙ КИСЛОТЫ

(Представлено академиком Н. М. Эмануэлем 5 І 1973)

Изучение кипетики и механизма распада азотистоводородной кислоты представляет интерес в связи с поисками систем для и.-к. химических дазеров (1). Одпако, несмотря на весьма значительное количество работ, посвященных распаду  $\mathrm{HN}_3$ , в настоящее время ист единого мпения о природе взрывного распада HN<sub>3</sub> (2). Нами проведено изучение термического воспламенения паров  $\mathrm{HN}_{\scriptscriptstyle 3}$  в цилипдрическом кварцевом сосуде (S/V= = 2 см<sup>-1</sup>) методом впуска в интервале температур 300-840° С при давлениях  $30-10^{-2}$  тор. При впуске паров в нагретый сосуд (выше  $300^{\circ}$ ) наблюдается свечение, характер которого зависит от давления ее паров. Существуют критические давления НN<sub>3</sub>, выше которых наблюдается яркая короткая вепышка, пламя при этом всегда распространяется по находящимся при компатной температуре коммуникациям, вплоть до капилляров с впутренним диаметром 0,5 мм. При давлениях ниже этого предела с длительностью в десятки минут различается слабое свечение, которое можно наблюдать и при давлениях порядка  $10^{-2}$  тор. Яркость этого свечения с ростом температуры увеличивается, а длительность падает до долей секунды.

Грапица между этими двумя явлениями, как и в (²), отнесена нами к пределу самовоспламенения и воспроизводимо определена до  $840^\circ$  с точностью  $\pm$  0,5 тор. Полученная предельная кривая приведена на рис. 4 в координатах  $P_{\text{HN}_3}^{\ 0}-T$ , где  $P_{\text{HN}_3}^{\ 0}$ - начальное давление кислоты, T — температура стенок реакционного сосуда. На этом же рисунке приведены результаты исследования (²), полученные в сходных условиях (в (²) применен сосуд с S/V=0.6 см $^{-1}$ ), а также представлена зависимость величины  $\lg P_{\text{HN}_3}^{\ 0}/T$  от обратной температуры. В этих координатах ветвь AB предела термического самовоспламенения можно описать уравнением  $\lg P_{\text{HN}_3}^{\ 0}/T=3400/T-5.7$ .

Такого вида границы самовоспламенения (рис. 1) для индивидуальных взрывчатых веществ обнаружены впервые, хотя они известны для горения кислородных смесей углеводородов различных классов (3). Наблюдая за скоростью разложения  $\mathrm{HN}_3$  под пределом по поглощению при  $\lambda \approx 230$  мр удалось установить, что при пизких температурах в разложении  $\mathrm{HN}_3$  имеются значительные периоды индукции. При температурах, меньших  $290^\circ$ , в течение 1 часа распада  $\mathrm{HN}_3$  обнаружить пе удается, а при  $T=300^\circ$  С и  $P_{\mathrm{HN}_3}^{-0}=25$  тор период индукции достигает 21 мин. При повышении температуры длительность периода индукции сокращается до долей секуиды. По истечении периода индукции убыль концептрации  $\mathrm{HN}_3$  быстро начинает следовать кинетике первого порядка. Температурная зависимость эффективной константы скорости разложения под пределом имеет следующий вид (рис. 1):  $k_{3\Phi\Phi}=10^{12}\mathrm{exp}(-41000/RT)$  сек $^{-1}$ .

Было исследовано влияние аргона на положение предела воспламенения  $\mathrm{HN}_3$  в области низкотемпературной ветви предела (участок AB) и установлено, что добавление инертного газа Ar снижает предельное дав-

ление воспламенения. Концентрационные пределы воспламенения смесей  $\mathrm{HN}_{\mathrm{s}}$ —Аг для различных температур приведены на рис. 2.

Расширение области самовоспламенения и понижение предела при добавлении к парам HN<sub>3</sub> Ar может свидетельствовать о наличии нижнего предела цепного воспламенения с обрывом цепи в диффузионной

области. Исследованиями последних лет экспериментально показано в процессе распада HN<sub>3</sub> образуются колебательно возбужденные молекулы азота  $(N_2)$ , которые, возможно, являются носителями материально-энергетической (4). Одним из путей, приводящих к эффективной передаче возбуждения от  $\overline{\mathrm{N}}_{2}$  к  $\mathrm{HN}_{3}$ , может быть почрезонапсный энергией (5), в результате чего происходит колебательная накачка  $HN_3(v_2)$ . Другим путем, па наш взгляд, может оказаться способность  $\widetilde{N}_2$  при соударении с НУ3 образовывать

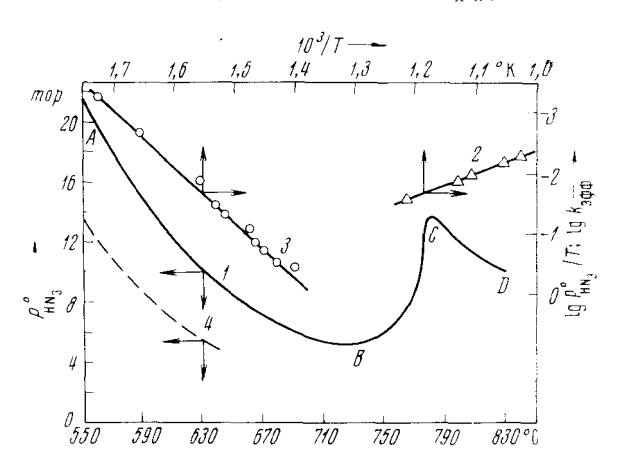


Рис. 4. Предел воспламенения  $\mathrm{HN}_3$ : I — по нашим данным, 4 — по данным ( $^2$ ), 2 — анаморфоза участка AB предела воспламенения, 3 — зависимость  $\lg k_{\circ \varphi}$  от температуры

комплекс пентазол,  $HN_5$ . Основанием для предположения о существовании пентазола служат данные об образовании фенилпентазола и структур, содержащих несколько атомов азота в цикле. Опи легко получаются из производных  $HN_3$  и соответствующих веществ, содержащих кратные связи ( $^6$ ). По апалогии можно ожидать, что взаимодействие  $\tilde{N}_2$  с  $HN_3$  даст химический комплекс  $HN_5$ . Это в дальнейшем может привести либо к пепосредственному образованию NH-радикала по реакции  $[HN_5] \rightarrow$ 

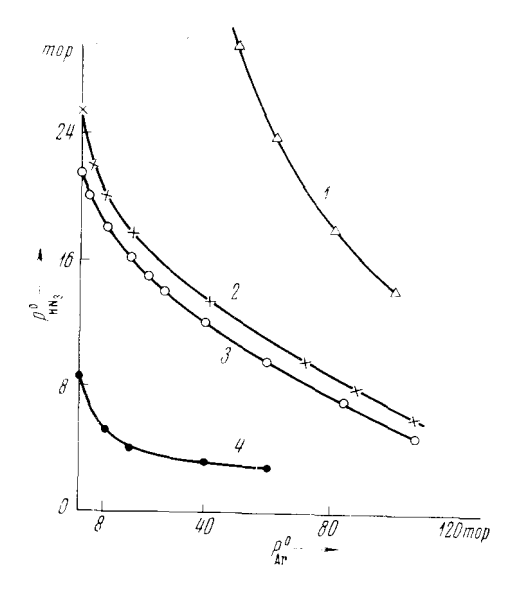


Рис. 2. Влияние Ar на предел воспламенения  $\rm HN_3$  при температурах:  $-495^\circ$  (1);  $-535^\circ$  (2),  $-547^\circ$  (3),  $-630^\circ$  C (4)

 $\rightarrow 2N_2 + NH$ , либо к его образованию через возбужденную молекулу азотистоводородной кислоты

$$\tilde{\mathbf{N}}_2 + \mathbf{H} \mathbf{N}_3 \rightarrow [\mathbf{H} \mathbf{N}_5] \rightarrow \tilde{\mathbf{H}} \tilde{\mathbf{N}}_3 + \mathbf{N}_2 \rightarrow \mathbf{N} \mathbf{H} - 2 \mathbf{N}_2.$$

В последнем случае, по-видимому, возможна и накачка  $HN_3(v_2)$ , па-блюдавшаяся в ( $^5$ ).

Принимая во внимание возможные различия в реакционной способности NH-радикала различной мультиплетности (4), можно предложить схему реакции термического распада HN<sub>3</sub>, качественно согласующуюся с экспериментальными данными настоящей работы и способную формально описать как кривую рис. 1, так и кривую рис. 2.

$$HN_3 \rightarrow NH ('\Delta) + N_2 ('\Sigma),$$
 (0)

$$NH(\Delta) \perp HN_3 \rightarrow \widetilde{N_2H_2} \perp \widetilde{N}_2,$$
 (1)

$$\widetilde{N_2H_2} \rightarrow \widetilde{\overline{N}_2} - H_2,$$
 (2)

$$\widetilde{N}_{2} + HN_{3} \rightarrow [HN_{5}] \rightarrow NH ('\Delta) + 2N_{2},$$

$$\downarrow \widetilde{N}_{3} + N_{2} \rightarrow NH ('\Delta) + 2N_{2}$$
(3)

(или резонансная передача энергии от  $\widetilde{\mathrm{N}}_{\scriptscriptstyle 2}$  к  $\mathrm{H}\mathrm{N}_{\scriptscriptstyle 3}$ )

$$N_2H_2 \rightarrow 2NH (^3\Sigma^-),$$
 (4)

$$NH(^{3}\Sigma) + HN_{3} \rightarrow NH_{2} + N_{3},$$
 (5)

Процессы гибели активных частиц.

С ответственной за разветвление реакцией (2) конкурирует процесс (4), роль которого по мере повышения температуры должна возрастать. До тех пор, пока вклад стадии (4) пренебрежимо мал, предельное давление самовосиламенения падает с новышением температуры (участок AB рис. 1). По мере увеличения T  $w_4$ / $w_2 = A_4$ / $A_2$ exp( $-E_4 + E_2$ ) становится больше, а разветвления все более редкими. Предел самовосиламенения при этом возрастает (BC, рис. 1). Увеличение предела ограничено сверху давлением, при котором достигается условие теплового взрыва ( $^7$ ), который может определять дальнейший ход предельной кривой (CD, рис. 1). Если обрыв цепи лимитируется диффузией активного центра к

стенке, то добавление Ar может приводить к снижению предела (рис. 2). Заметим, что несмотря на высокую энергию HN=NH-связи в молекуле диимина (100 ккал/моль) (8)), вероятность распада по этой связи при взрыве HN<sub>3</sub> может быть достаточно высока для того, чтобы конкуренция стадий (2) и (4) при наших рабочих температурах была возможна. Весьма значительный тепловой эффект реакции (1), равный 120 ккал/моль (8, 9), дает возможность предположить, что оба ее продукта могут получиться в колебательно возбужденных состояниях. Наиболее вероятно сосредоточение избыточной колебательной энергии диимина на валентной HN=NH-связи (10), что может приводить к повышению вероятности распада диимина по пути (4).

На различие в механизме распада НN<sub>3</sub> в разных температурных областях указывают и эксперименты по разложению НN3 в ударных волнах, где (5) граничная темпертура находится вблизи 1100° К. Ниже этой температуры существенную роль играют радикальные реакции; при высоких температурах первичным продуктом распада  $\mathrm{HN}_3$  является  $\mathrm{NH}\left({}'\Delta
ight)$ , а при достаточно низких следует ожидать образования  $NH(^3\Sigma^-)$  как первичного продукта (5). Исходя из этого можно было бы связать экстремальный характер предела термического самовоспламенения НN<sub>3</sub> с первичным актом распада. Однако практическое совпадение параметров найденной нами  $\hat{k}_{ ext{a} ext{d} ext{d}}$  для разложения  $ext{HN}_{ ext{3}}$  при низких температурах и соответствующих величин (5) константы скорости реакции  $HN_3 \rightarrow NH(\Delta) + N_2(\Sigma)$  дают возможность предположить, что спиново запрещенный путь имеет существенно меньшую скорость на нашем температурном интервале. При этом приходится помнить о том, что  $k_{\circ \phi \phi}$  может относиться не к первичной стадии, если не она является лимитирующим процессом медленного разложения азотистовопоронной кислоты пол пределом.

Московский государственный университет им. М. В. Ломоносова

Поступило 17 XI 1972

(6)

ЦИТИРОВАННАЯ ЛИТЕРАТУРА

<sup>1</sup> М. С. Джиджеев, В. И. Марковидр., ЖЭТФ, 57, 411 (1969); Н. Г. Басов, В. В. Громовидр., Письма ЖЭТФ, 10, 5 (1969). <sup>2</sup> D. Gray, Т. С. Waddington, Nature, 179, 576 (1957). <sup>3</sup> А. С. Соколик, С. Я. Яптовский, ЖФХ, 20, 13 (1946); А. С. Соколик, Самовосиламенение, плами и детонация в газах, М., 1960. <sup>4</sup> В. Г. Воронков, А. С. Розенберг, ДАН, 177, 835 (1967); А. С. Розенберг, Кандидатская диссертация, МГУ, 1969. <sup>5</sup> И. С. Заслонко, С. М. Когарко, Е. В. Мозжухии, Кинетика и катализ, 13, 4 (1972). <sup>6</sup> А. Н. Несмеянов, Н. А. Несмеянов, Начала органической химии, 2, М., 1970, стр. 318. <sup>7</sup> Н. Н. Семенов, О некоторых проблемах химической кинстики и реакционной способности, М., 1958. <sup>8</sup> S. Foner, R. Ниdson, J. Chem. Phys., 28, 179 (1958). <sup>9</sup> Термодинамические свойства индивидуальных веществ, Справочник под редакцией В. П. Глушко, М., 1962. <sup>10</sup> В. Н. Кондратьев, Кинетика газовых химических реакций, М., 1958.